

# ОСОБЕННОСТИ МАГНИТНОГО ПОРЯДКА В СТРУКТУРНО РАЗУПОРЯДОЧЕННОМ ГЕЛИКОИДАЛЬНОМ МАГНЕТИКЕ $\text{Cr}_{1/3}\text{NbS}_2$ ПО ДАННЫМ ЯМР НА ЯДРАХ $^{53}\text{Cr}$

*B. V. Оглобличев<sup>a</sup>\*, Ю. В. Пискунов<sup>a</sup>, Ф. Б. Мушенок<sup>b</sup>*

<sup>a</sup> Институт физики металлов им. М. Н. Михеева Уральского отделения Российской академии наук  
620990, Екатеринбург, Россия

<sup>b</sup> Институт проблем химической физики Российской академии наук  
142432, Черноголовка, Московская обл., Россия

Поступила в редакцию 20 января 2017 г.

Представлены результаты исследования магнетика  $\text{Cr}_{1/3}\text{NbS}_2$  методом ядерного магнитного резонанса (ЯМР) на ядрах  $^{53}\text{Cr}$  в отсутствии внешнего магнитного поля. В спектре ЯМР  $^{53}\text{Cr}$  при температуре  $T = 4.2\text{ K}$  выделяются две области частот  $\nu_1 = 64\text{--}68\text{ MHz}$  и  $\nu_2 = 49\text{--}51\text{ MHz}$ , которые могут быть связаны с двумя валентными состояниями иона хрома  $\text{Cr}^{4+}$  и  $\text{Cr}^{3+}$ . Получены компоненты градиента электрического поля, сверхтонкие поля и магнитный момент на атомах хрома. Данные ЯМР свидетельствуют о том, что магнитные моменты хрома лежат в плоскости *ab* и образуют магнитную структуру, состоящую из участков с геликоидальным магнитным порядком и участков, где этот порядок нарушается.

DOI: 10.7868/S0044451017080132

## 1. ВВЕДЕНИЕ

Дихалькогениды ниobia  $\text{M}_{1/3}\text{NbS}_2$ , интеркалированные переходными металлами  $\text{M}$ , являются хорошими модельными объектами, демонстрирующими многообразие магнитных состояний в зависимости от  $\text{M}$ : парамагнетизм ( $\text{M} = \text{Ti}, \text{V}$ ) [1, 2], антиферромагнетизм ( $\text{M} = \text{Fe}, \text{Co}, \text{Ni}$ ) [2, 4], геликоидальный магнитный порядок ( $\text{M} = \text{Cr}, \text{Mn}$ ) [1–15].

Кристаллическая структура соединения  $\text{Cr}_{1/3}\text{NbS}_2$  (пространственная группа  $P6_322$ ) образована чередующимися плоскостями ионов ниobia, расположенными в плоскости *ab* и разделенными двумя слоями ионов серы [1, 3, 6, 8]. Интеркалированные ионы хрома занимают упорядоченные позиции между слоями серы. Ниже температуры Кюри  $T_N = 127\text{ K}$  образуется геликоидальная магнитная структура, которая является результатом конкуренции симметричного гейзенберговского и антисимметричного Дзялошинского–Мория обменных взаимодействий, а также влияния одноосной магнитной анизотропии типа «легкая плоскость». В такой структуре магнитные моменты ионов

хрома, принадлежащих одному слою, упорядочены ферромагнитно и лежат в базальной плоскости *ab*. При перемещении вдоль кристаллографической оси *c* ориентация намагниченности отдельных слоев изменяется по закону  $\varphi = Qz$ , где  $\varphi$  — угол между вектором намагниченности и осью *a*. Волновой вектор магнитной структуры  $Q = 0.013\text{ \AA}^{-1}$  (при  $H = 0$ ) соответствует приблизительно 40 периодам кристаллической решетки [5, 8].

Приложение магнитного поля перпендикулярно кристаллографической оси *c* приводит к образованию магнитной солитонной решетки (МСР), состоящей из участков соразмерной (ферромагнитной) фазы, разделенных солитонами — участками, на которых направление магнитных моментов изменяется на  $360^\circ$  (участки геликоидального магнитного порядка) [5]. При этом период МСР определяется внешним магнитным полем.

В целом ряде экспериментальных работ, посвященных исследованию магнитных свойств  $\text{Cr}_{1/3}\text{NbS}_2$ , значения температуры магнитного упорядочения варьируются от 88 до 132 K [6–11]. Такой разброс значений может быть вызван структурным разупорядочением интеркалированных ионов и чрезвычайной чувствительностью магнитных свойств к внутрислоевым и межслоевым обменным взаимодействиям. Вопрос о валентности интер-

\* E-mail: ogloblichev@imp.uran.ru

калированных ионов также до сих пор остается открытым, так как в разных источниках приводятся разные значения для момента насыщения  $\mu = 1.3 - 3.2\mu_B$  [3–6, 11].

Из сказанного выше следует, что выяснение реальной величины магнитного момента и валентного состояния ионов хрома в  $\text{Cr}_{1/3}\text{NbS}_2$ , а также влияния эффектов разупорядочения является актуальной и принципиальной задачей. Метод ядерного магнитного резонанса (ЯМР) на ядре магнитного иона, использованный в данном исследовании, представляется наиболее перспективным для решения подобных задач. Отличительной особенностью ЯМР является его локальный характер (в отличие, например, от измерений магнитной восприимчивости, теплоемкости), что позволяет получать информацию о происходящих физических процессах на атомном уровне. Так, в магнитоупорядоченных материалах частота ЯМР на исследуемом ядре определяется локальными сверхтонкими полями, которые прямо пропорциональны величине магнитного момента иона [16, 17]. Изменение валентного состояния ионов приводит к изменению величины магнитного момента, поэтому величина сверхтонкого поля в первом приближении прямо пропорциональна числу неспаренных электронов иона.

В настоящей работе представлены результаты исследования поликристаллического образца  $\text{Cr}_{1/3}\text{NbS}_2$  методом ядерного магнитного резонанса на магнитных ионах хрома  $^{53}\text{Cr}$  при температурах  $T = 4.2 - 77$  К в нулевом внешнем магнитном поле  $H = 0$ .

## 2. ОБРАЗЦЫ И МЕТОДИКА ЭКСПЕРИМЕНТА

В работе исследовались поликристаллические образцы  $\text{Cr}_{1/3}\text{NbS}_2$ . Получение этих образцов, а также результаты их исследования методами синхротронного излучения и ферромагнитного резонанса подробно описаны в работах [6, 7]. ЯМР-измерения проводились на модернизированном импульсном спектрометре SXP 4100 (фирма “Bruker”) при  $T = 4.2$  К (образец находился в прямом контакте с жидким гелием) и  $T = 77$  К (образец находился в прямом контакте с жидким азотом) в нулевом внешнем магнитном поле. При поиске сигнала был «просканирован» широкий диапазон частот  $\nu = 25 - 80$  МГц.

Спектры ЯМР  $^{53}\text{Cr}$  были получены с использованием стандартной методики спинового эха

$\tau_{\pi/2-t_{del}-\tau_{\pi}-t_{del}}$ -эхо в режиме изменения частоты облучения образца. Длительность первого импульса выбиралась  $\tau_{\pi/2} = 0.5$  мкс, мощность РЧ-усилителя составляла  $N = 10 - 30$  Вт. При записи спектров с шириной, большей полосы частот, возбуждаемой РЧ-импульсом, применялось суммирование массива сигналов, накопленных в требуемом частотном диапазоне с шагом  $\Delta\nu = 100$  кГц. Измерения ЯМР-спектров проводились при задержках между импульсами  $t_{del} = 40 - 60$  мкс.

Время спин-спиновой релаксации измерялось при изменении задержки между импульсами  $t_{del}$  в интервале  $t_{del} = 0.030 - 5$  мс. Время спин-решеточной релаксации  $T_1$  измерялось методом инвертирования и последующего восстановления ядерной намагниченности. При измерении  $T_1$  использовалась импульсная последовательность  $\tau_{\pi}-t_{inv}-\tau_{\pi/2-t_{del}-\tau_{\pi}-t_{del}}$ -эхо при постоянной задержке  $t_{del} = 40$  мкс в интервале  $t_{inv} = 0.050 - 60$  мс. Времена спин-спиновой и спин-решеточной релаксации обрабатывались экспоненциальными зависимостями соответственно  $M(2t_{del}) = M \exp(-2t_{del}/T_2)$  и  $M(t_{inv}) = M_0 - M \exp(-t_{inv}/T_1)$ . Время повторения экспериментов составляло  $5T_1$ .

Для расчета формы линий ЯМР, полученных в магнитоупорядоченной фазе, использовалась программа моделирования спектров [17–19], численно рассчитывающая форму линии на основе полного гамильтониана ядерной системы с учетом зеемановского, квадрупольного вкладов и пространственной ориентации магнитных моментов атомов хрома.

## 3. РЕЗУЛЬТАТЫ И ОБСУЖДЕНИЕ

Сложность наблюдения ЯМР на магнитном ионе хрома  $\text{Cr}^{3+}$  в упорядоченном состоянии обусловлена малым природным содержанием ЯМР-изотопа ( $^{53}\text{Cr} = 9.5\%$ ) и обычно очень короткими временами спин-спиновой релаксации. Тем не менее нам удалось наблюдать ЯМР  $^{53}\text{Cr}$  в исследуемом соединении.

В общем случае, в спектре ЯМР  $^{53}\text{Cr}$  (спин  $^{53}I = 3/2$ ,  $^{53}\gamma = 0.24064$  МГц/кЭ) должно наблюдаться  $2I = 3$  линии: одна, соответствующая центральному переходу ( $m_I = -1/2 \leftrightarrow 1/2$ ), и две сателлитных, соответствующие переходам ( $m_I = -3/2 \leftrightarrow -1/2$ ) и ( $m_I = 1/2 \leftrightarrow 3/2$ ) (рис. 1a). Такая структура спектров обусловлена взаимодействием квадрупольного момента ядер  $^{53}\text{Cr}$  ( $e^{53}Q = 0.0285 \cdot 10^{-24}$  см $^2$ ) с градиентом электрического поля (ГЭП)  $V_{ii}$ , создаваемым зарядовым окружением. Зависимость резонансной частоты перехода ( $m \rightarrow$

Таблица. Параметры пяти линий при моделировании экспериментальных спектров ЯМР  $^{53}\text{Cr}$ 

Линия	1		2		3		4		5	
$T$ , К	4.2	77	4.2	77	4.2	77	4.2	77	4.2	77
$\nu_Q$ , МГц	1.23	1.22	1.20	1.20	1.20	1.20	1.08	1.17	0.507	1.08
$\nu$ , МГц	66.66	56.53	65.31	55.56	66.42	56.82	49.91	38.26	50.13	38.57
$h_{loc,hf}$ , кГц	-277.0	-234.9	-271.4	-230.9	-276.0	-236.1	-207.4	-159.0	-208.3	-160.3
$T_1$ , мс	2.28	0.356	—	—	—	—	3.34	0.37	—	—
$T_2$ , мкс	541	110	—	—	—	—	710	65	—	—
$\theta$	90°	90°	90°	90°	90°	90°	—	—	90°	15°

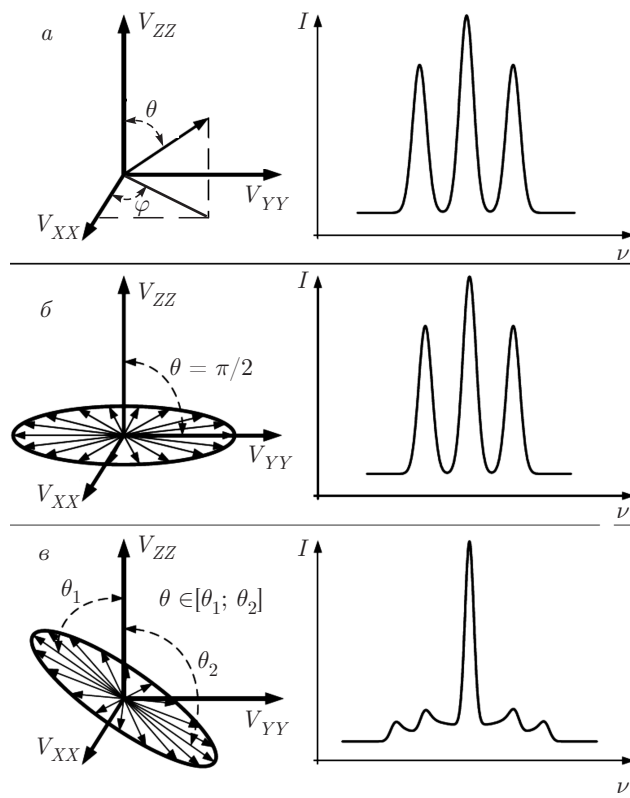


Рис. 1. Характерные спектры ЯМР для  $^{53}\text{Cr}$  в зависимости от угла  $\theta$  (выражение (1)), а — ферромагнитный случай ( $\theta = \text{const}$ ), б — магнитоупорядоченная фаза с геликоидальной магнитной структурой, лежащей в плоскости, перпендикулярной главной оси ГЭП  $V_{ZZ}$  ( $\theta = \pi/2$ ), в — произвольно ориентированной относительно осей ГЭП ( $\theta$  меняется в пределах от  $\theta_1$  до  $\theta_2$ )

$\rightarrow m - 1$ ) ядер со спином  $I$  и асимметричным тензором ГЭП ( $\eta = (V_{YY} - V_{XX})/V_{ZZ} \neq 0$ ) от углов  $\theta$  и  $\varphi$  во внешнем магнитном поле имеет вид [20, 21]

$$\nu(m \rightarrow m - 1) = \nu_0 - \frac{\nu_Q}{2} \left( m - \frac{1}{2} \right) \times \\ \times (3 \cos^2 \theta - 1 - \eta \sin^2 \theta \cdot \cos 2\varphi), \quad (1)$$

где  $\nu_Q = 3eV_{ZZ}Q/2I(2I - 1)h$  — квадрупольная частота,  $h$  — постоянная Планка,  $\theta$  — угол между направлением внешнего магнитного поля  $H$  и главной осью ГЭП ( $V_{ZZ}$ ),  $\varphi$  — угол между проекцией направления магнитного поля на плоскость  $XY$  и осью ГЭП ( $V_{XX}$ ).

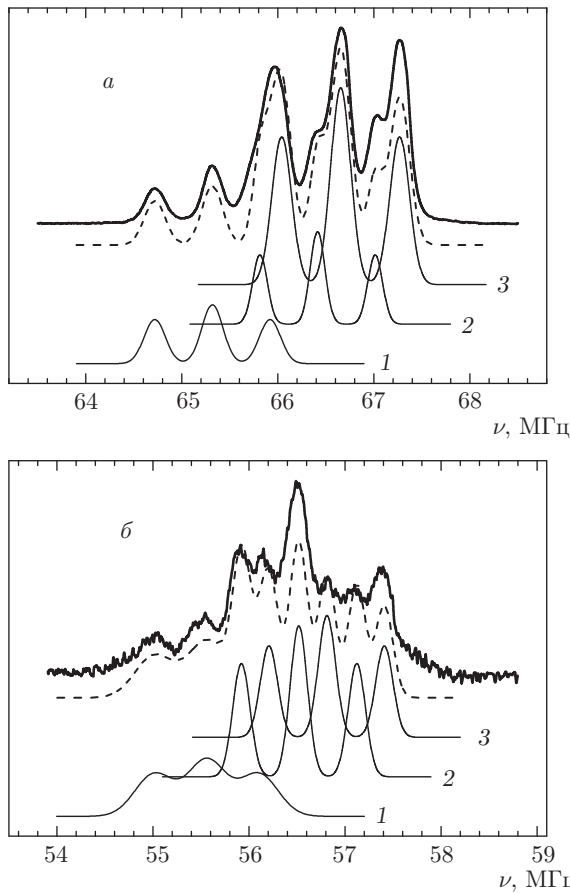
Роль внешнего магнитного поля, определяющего частоту ЯМР, в нашем случае играет локальное магнитное поле  $\mathbf{h}_{loc}$ . В общем случае локальное поле на ядре определяется дипольным полем  $\mathbf{h}_{loc,dip}$ , создаваемым соседними магнитными моментами, и сверхтонким полем  $\mathbf{h}_{loc,hf}$  (СТП), обусловленным магнетизмом собственных неспаренных  $3d^3$ -электронов и переносом спиновой поляризации от ближайшего магнитного окружения [16–21]

$$\mathbf{h}_{loc} = \mathbf{h}_{loc,hf} + \mathbf{h}_{loc,dip}. \quad (2)$$

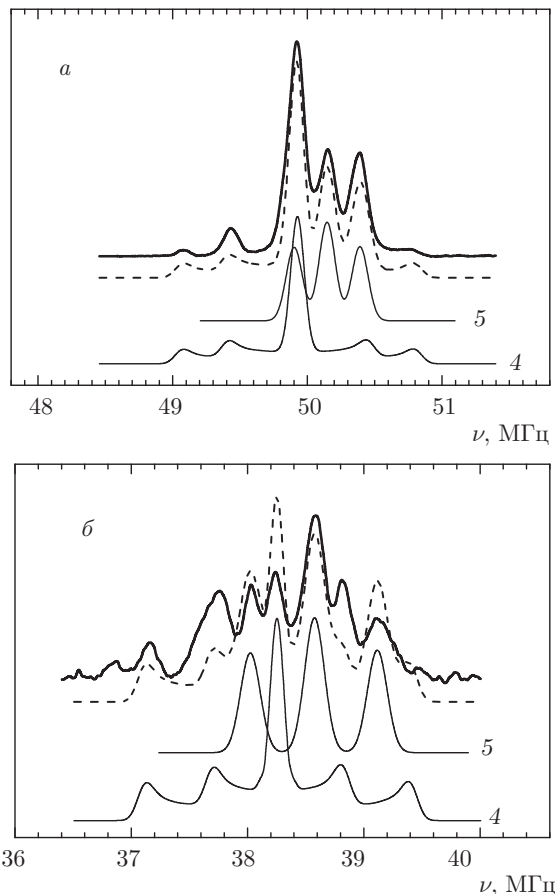
Поскольку величина дипольного поля  $\mathbf{h}_{loc,dip}$  на два–три порядка меньше сверхтонкого поля  $\mathbf{h}_{loc,hf}$ , им в первом приближении можно пренебречь. Сверхтонкое поле  $\mathbf{h}_{loc,hf}$  на ядре иона Cr [15, 16, 21] задается выражением

$$\mathbf{h}_{loc,hf} = g\mu_B AS, \quad (3)$$

где  $g\mu_B S$  — среднее значение магнитного момента,  $S$  — электронный спин,  $g$  —  $g$ -фактор для  $\text{Cr}^{3+}$ ,  $A$  — константа сверхтонкого взаимодействия. Основной вклад в сверхтонкое поле на ядре будут вносить собственные неспаренные  $3d$ -электроны. Поле, создаваемое такими электронами, противоположно направлению спину иона, т. е. отрицательно [16].



**Рис. 2.** Спектр ЯМР  $^{53}\text{Cr}$  в  $\text{Cr}_{1/3}\text{NbS}_2$  при двух температурах —  $T = 4.2 \text{ К}$  (а) и  $T = 77 \text{ К}$  (б) — в нулевом внешнем магнитном поле. Штриховой линией показан результат моделирования экспериментального спектра тремя квадрупольно расщепленными линиями



**Рис. 3.** Спектр ЯМР  $^{53}\text{Cr}$  в  $\text{Cr}_{1/3}\text{NbS}_2$  при двух температурах —  $T = 4.2 \text{ К}$  (а) и  $T = 77 \text{ К}$  (б) — в нулевом внешнем магнитном поле. Штриховой линией показан результат моделирования экспериментального спектра тремя квадрупольно расщепленными линиями

На рис. 2а и 3а представлен спектр ЯМР  $^{53}\text{Cr}$  в структурно разупорядоченном поликристаллическом образце  $\text{Cr}_{1/3}\text{NbS}_2$  в нулевом внешнем магнитном поле при  $T = 4.2 \text{ К}$ . В спектре можно выделить две области частот, в которых наблюдается сигнал:  $\nu_1 = 64\text{--}68 \text{ МГц}$  и  $\nu_2 = 49\text{--}51 \text{ МГц}$ .

Сигнал ЯМР в области частот  $\nu_1 = 64\text{--}68 \text{ МГц}$  является характерным для атомов  $\text{Cr}^{3+}$  в октаэдрическом окружении [22–25]. Используя выражение (1), спектр ЯМР хрома можно описать суперпозицией трех квадрупольно расщепленных линий 1, 2, 3 с параметрами, представленными в таблице. Для вычисления магнитного момента атомов хрома были взяты среднее значение сверхтонкого поля трех линий  $|\mathbf{h}_{loc,hf}| = \nu/^{53}\gamma \approx 275(4) \text{ кЭ}$  и константа сверхтонкого взаимодействия  $A = -97.6 \text{ кЭ}/\mu_B$  [22]. Таким образом, из формулы (3) получим значение  $\mu = 2.82\mu_B$ , которое хорошо согласуется с результатата-

ми измерения статической намагниченности [5, 10].

Для вычисления тензора градиента электрического поля (ГЭП)  $V_{\alpha\beta}$  ( $\alpha, \beta = x, y, z$ ), определения осей ГЭП, квадрупольной частоты  $\nu_Q \propto V_{ZZ}$  (уравнение (1)) использовалась модель точечных зарядов (МТЗ) с учетом искажений замкнутых электронных оболочек (с учетом множителей Штернхаймера [20, 21, 26]):

$$V_{\alpha\beta} = V_{\alpha\beta}^0(1 - \gamma_\infty), \quad (4)$$

где  $\gamma_\infty$  — антиэкранирующий множитель Штернхаймера, равный  $-8.81$  для  $^{53}\text{Cr}^{3+}$  [26]. В данной модели каждый атом представляет собой материальную точку с некоторым зарядом: ион Cr — «+3e», ион Nb — «+3e», ион S — «-2e». Модель МТЗ предполагает вычисление вторых производных  $V_{\alpha\beta}$  ( $\alpha, \beta = x, y, z$ ) от потенциала  $V = e/r$ , создавае-

мого атомом с зарядом  $e$  на расстоянии  $r$  от точки, где считался ГЭП. Для построения кристаллической решетки использовались координаты атомов элементарной ячейки и элементарных трансляций из работы [7]. Количество учитываемых атомов определялось сферой с задаваемым радиусом  $R$ . Критерий выбора радиуса заключался в следующем:  $\{V_{ZZ}(R + \delta) - V_{ZZ}(R)\}/V_{ZZ}(R) < 0.01$ , где  $\delta$  — шаг. Изначально тензор ГЭП вычислялся в системе координат осей кристалла, затем для определения осей ГЭП приводился к диагональному виду, т. е. находилась матрица поворота из системы координат осей кристалла в систему координат главных осей ГЭП. Анализ результатов показал, что главная ось ГЭП  $V_{ZZ}$  направлена вдоль оси  $c$ , параметр асимметрии  $\eta = (V_{YY} - V_{XX})/V_{ZZ}$  близок к нулю, а величина квадрупольной частоты  $\nu_Q^{calc} \approx 2$  МГц.

В магнитоупорядоченной фазе с геликоидальным магнитным порядком  $\text{Cr}_{1/3}\text{NbS}_2$  спектр ЯМР  $^{53}\text{Cr}$  может состоять из трех линий (рис. 1б), соответствующих центральному переходу и сателлитам, только если главная ось ГЭП  $V_{ZZ}$  перпендикулярна локальному магнитному полю  $\mathbf{h}_{loc}$ , т. е. при  $\theta = 90^\circ$  (см. выражение (1)). В ином случае, при  $\theta \neq 90^\circ$  и вращении  $\mathbf{h}_{loc}$  вокруг оси ГЭП  $V_{ZZ}$ , угол  $\theta$  будет варьироваться, что приведет к значительному уширению сателлитных линий, при этом ширина линии, соответствующей центральному переходу, останется практически неизменной (рис. 1б) [27]. Поскольку в модели точечных зарядов было получено, что  $V_{ZZ} \parallel c$ , можно обоснованно утверждать, что магнитные моменты ионов хрома лежат в плоскости  $ab$ . Данное утверждение полностью согласуется с результатами магнитометрии и нейтронографии [1–6].

Наличие нескольких линий в спектре ЯМР  $^{53}\text{Cr}$  свидетельствует о наличии дефектов в кристаллической структуре исследуемого соединения. В работе [6] установлено, что в структурно разупорядоченных кристаллах  $\text{Cr}_{1/3}\text{NbS}_2$  присутствуют три позиции атомов хрома с независимыми заселенностями. Другой причиной существования трех линий может являться наличие атомов хрома, находящихся в областях, где нарушается однородная геликоидальная магнитная структура. В этом случае изменяется  $\mathbf{h}_{loc}$  на позициях ионов хрома в кристалле.

Помимо сигнала ЯМР  $^{53}\text{Cr}$  в диапазоне частот  $\nu_1 = 64\text{--}68$  МГц (рис. 2а) также наблюдается дополнительный сигнал в диапазоне  $\nu_2 = 48\text{--}52$  МГц (рис. 3а) со средними значениями  $|h_{loc,hf}| = \nu/^{53}\gamma = 207.7(2)$  кЭ и магнитным моментом  $\mu \approx 2.1\mu_B$ . Разница между сверхтонкими полями первой  $\nu_1$  и второй  $\nu_2$  областей частот составляет 67 кЭ. Эта ве-

личина близка к величине поля 97.6 кЭ, которое создается одним 3d-электроном на ядре. Другими словами, ядра хрома, которые дают сигнал в области частот  $\nu_2$ , находятся в состоянии, близком к валентному состоянию  $\text{Cr}^{4+}$  [25].

Спектр ЯМР  $^{53}\text{Cr}$  в области  $\nu_2 = 48\text{--}52$  МГц может быть описан как суперпозиция двух линий 4 и 5 (рис. 3а). Форма линии 4 является характерной для магнитных фаз, в которых возникает несоизмеримая геликоидальная структура [17–19, 27]. Возникновение такой формы линии возможно при выходе плоскости вращения магнитных моментов из плоскости  $ab$  (рис. 1б). В этом случае угол  $\theta$  в выражении (1) будет непрерывно принимать значения от  $\theta_1$  до  $\theta_2$  в силу несоизмеримой геликоидальной магнитной структуры и, как следствие, будет наблюдаться значительное уширение сателлитных линий в спектре хрома относительно центрального перехода (рис. 1б).

Другой возможной причиной возникновения линии ЯМР, подобной линии 4, является наличие позиций хрома, отличных от симметрии основного состояния хрома  $\text{Cr}^{3+}$  в  $\text{Cr}_{1/3}\text{NbS}_2$ . В этих позициях магнитные моменты хрома лежат в плоскости  $ab$ , но нарушается симметрия ГЭП и, как следствие, изменяется направление оси ГЭП  $V_{ZZ}$  ( $V_{ZZ}$  не параллельно кристаллографической оси  $c$ ). Таким образом, сигнал от ядер ионов  $\text{Cr}^{4+}$  позволяет нам отличить геликоидальный магнитный порядок от какого-либо другого, поскольку направление  $V_{ZZ}$  не совпадает с нормалью к плоскости упорядочения этих ионов. Если предположить микроскопически равномерное распределение ионов  $\text{Cr}^{4+}$  по кристаллу, то логично считать, что ионы  $\text{Cr}^{3+}$  также включены в образование геликоидальной магнитной структуры, с той лишь разницей, что все магнитные моменты последних имеют  $\theta = 90^\circ$ .

Что же касается формы линии 5, то она подобна форме линий 1–3: центральный переход и две сателлитные линии. Для получения дополнительной информации было проведено сравнение спектров при разных температурах. На рис. 2б и 3б представлены спектры ЯМР  $^{53}\text{Cr}$  при температуре  $T = 77$  К.

Повышение температуры приводит к существенному сдвигу линий 1–3 в область более низких частот, оставляя, однако, неизменным расстояние между сателлитными линиями. Это свидетельствует о том, что магнитные моменты  $\text{Cr}^{3+}$  остаются лежать в плоскости  $ab$ , а среднее локальное поле на исследуемом ядре в результате возрастания тепловых флуктуаций магнитных моментов  $\text{Cr}^{3+}$  уменьшается.

Линия 4 при повышении температуры также сохраняет форму, характерную для магнитных фаз, с несоизмеримой геликоидальной структурой [17–19, 26], при этом расстояние между особенностями линии также существенно не изменяется.

У линии 5 при  $T = 77$  К увеличивается расстояние между сателлитными линиями. Такой эффект может быть достигнут в результате структурного перехода, при котором происходит увеличение значения ГЭП  $V_{ZZ}$  и, как следствие, увеличение квадрупольной частоты  $\nu_Q$  и/или уменьшение угла  $\theta$  между главной осью ГЭП  $V_{ZZ}$  и внутренним локальным полем (формула (1)). Однако в экспериментах по измерению намагниченности в исследованиях методами синхротронного излучения ферромагнитного резонанса, выполненных на образцах, используемых в данной работе, такие структурные переходы обнаружены не были [6, 7]. Кроме того, отсутствуют сведения о таких переходах в других литературных источниках [8–12].

Увеличение расстояния между сателлитными линиями может также иметь место при выходе магнитных моментов ионов хрома из плоскости  $ab$ . В этом случае должна возникать ненулевая компонента намагниченности вдоль оси  $c$ , что и наблюдается в эксперименте [6, 7]. При этом уменьшение угла  $\theta$  достигается не изменением ГЭП в системе, а изменением направления спинов относительно осей ГЭП. Сохранение трехпиковой структуры линии ЯМР означает равенство угла  $\theta$  для всех магнитных моментов ионов хрома. При этом невозможно однозначно определить, какая из магнитных структур, характеризуемых равенством угла  $\theta$  для всех магнитных моментов в системе, соответствует линии 5. Это может быть коническая соизмеримая или несоизмеримая с решеткой магнитная структура, а возможно, обычная ферро- или антиферромагнитная структура с легкой плоскостью намагничивания, отличной от плоскости  $ab$ . Однако можно точно говорить о том, что эта структура не является плоскостной геликоидальной, так как в этом случае линия 5 трансформировалась бы в линию, подобную показанной на рис. 1 $\varepsilon$ . Эту неопределенность можно разрешить путем исследования методами ЯМР монокристаллов  $\text{Cr}_{1/3}\text{NbS}_2$  во внешнем магнитном поле, что планируется сделать в дальнейшем.

И все же мы предполагаем, что линия 4 соответствует ядрам хрома, которые находятся в областях с геликоидальной магнитной структурой, а атомы хрома, дающие сигнал в линии 5, находятся в областях, в которых имеет место нарушение однородного магнитного порядка в кристалле. Такое искаже-

ние магнитной структуры подобно магнитной солитонной решетке, состоящей из участков соразмерной (ферромагнитной) фазы, разделенных солитонами — участками, на которых направление магнитных моментов изменяется на  $360^\circ$  (участки геликоидального магнитного порядка). Возникновение такого порядка и соответствующей ей модели обсуждается в работах [8–12].

#### 4. ЗАКЛЮЧЕНИЕ

Таким образом, в данной работе методами ЯМР  $^{53}\text{Cr}$  исследована магнитоупорядоченная фаза поликристаллического образца  $\text{Cr}_{1/3}\text{NbS}_2$  в нулевом внешнем магнитном поле при температурах  $T = 4.2$  К и  $T = 77$  К. Структурное разупорядочение  $\text{Cr}_{1/3}\text{NbS}_2$  приводит к образованию в образце различных (как минимум двух) валентных состояний ионов хрома:  $\text{Cr}^{4+}$  и  $\text{Cr}^{3+}$ . Полученные данные ЯМР свидетельствуют о том, что магнитные моменты хрома  $\text{Cr}^{3+}$  лежат в плоскости  $ab$  и образуют геликоидальную магнитную структуру. Ионы  $\text{Cr}^{4+}$  образуют магнитную структуру, состоящую из участков с геликоидальным магнитным порядком и участков, где этот порядок нарушается. Причиной образования такой магнитной решетки в нулевом внешнем магнитном поле являются кристаллографически неэквивалентные позиции и различные валентные состояния ионов хрома, которые разрывают межплоскостные связи, нарушая образование однородной геликоидальной магнитной структуры и уменьшая температуру магнитного упорядочения.

Работа выполнена в рамках государственного задания ФАНО России (тема «Спин», № 01201463330) при частичной поддержке РФФИ (проект № 15-02-02000).

#### ЛИТЕРАТУРА

1. F. Hulliger and E. Pobitschka, J. Sol. St. Chem. **1**, 117 (1970).
2. Y. Kousaka, Y. Nakao, J. Kishine et al., Nucl. Instr. Meth. Phys. Res. A **600**, 250 (2009).
3. S. S. P. Parkin, E. A. Marseglia, and P. J. Brown, J. Phys. C: Sol. St. Phys. **16**, 2765 (1983).
4. S. S. P. Parkin and R. H. Friend, Phil. Mag. B **41**, 65 (1980).

5. T. Miyadai, K. Kikuchi, H. Kondo et al., J. Phys. Soc. Jpn. **52**, 1394 (1983).
6. V. Dyadkin, F. Mushenok, A. Bosak et al., Phys. Rev. B **91**, 184205 (2015).
7. F. B. Mushenok, Phys. Sol. St. **55**, 2482 (2013).
8. Y. Togawa, T. Koyama, K. Takayanagi et al., Phys. Rev. Lett. **108**, 107202 (2012).
9. Y. Togawa, Y. Kousaka, S. Nishihara et al., Phys. Rev. Lett. **111**, 197204 (2013).
10. D. Yoshizawa, J. Kishine, Y. Kousaka et al., Phys. Proc. **75**, 926 (2015).
11. N. J. Ghimire, M. A. McGuire, D. S. Parker et al., Phys. Rev. B **87**, 104403 (2013).
12. B. J. Chapman, A. C. Bornstein, N. J. Ghimire et al., Appl. Phys. Lett. **105**, 072405 (2014).
13. A. P. Tankeev, M. A. Borich, and V. V. Smagin, Phys. Met. Metallogr. **115**, 1112 (2014).
14. A. P. Tankeev, M. A. Borich, and V. V. Smagin, Phys. Met. Metallogr. **115**, 232 (2014).
15. А. С. Боровик-Романов, Б. С. Думеш, С. В. Петров, А. М. Тихонов, ЖЭТФ **113**, 352 (1998).
16. A. Freeman and R. Frankel, *Hyperfine Interactions*, Academic Press, New York, London (1967).
17. А. Ф. Садыков, А. П. Геращенко, Ю. В. Пискунов и др., ЖЭТФ **142**, 753 (2012).
18. А. Ф. Садыков, А. П. Геращенко, Ю. В. Пискунов и др., ЖЭТФ **146**, 990 (2014).
19. A. G. Smol'nikov, V. V. Ogloblichev, S. V. Verkhovskii et al., Phys. Met. Metallogr. **118**, 143 (2017).
20. A. Abragam, *The Principles of Nuclear Magnetism*, Clarendon Press, Oxford (1961).
21. C. P. Slichter, *Principles of Magnetic Resonance*, Harper & Row, New York (1963).
22. M. Rubinstein, G. Stauss, and J. Krebs, Phys. Lett. **12**, 302 (1964).
23. E. Jedryka, S. Nadolski, and M. Wojcik, J. Magn. Magn. Mater. **40**, 303 (1984).
24. R. W. Terhune, J. Lambe, C. Kikuchi et al., Phys. Rev. **123**, 1265 (1961).
25. Z. H. Han, J. I. Budnick, W. A. Hines et al., J. Phys.: Condens. Matter **17**, 1193 (2005).
26. R. P. Gupta and S. K. Sen, Phys. Rev. A **8**, 1169 (1973).
27. R. Blinc, Phys. Rep. **79**, 331 (1981).